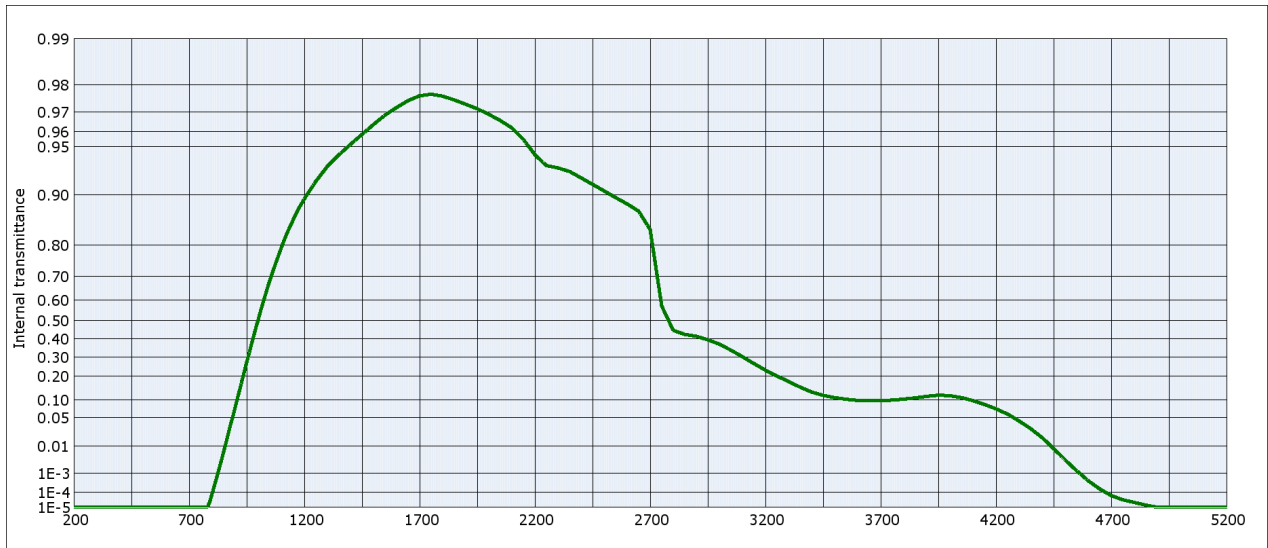




# RG1000



Internal transmittance $\tau_i$ at reference thickness $d = 3 \text{ mm}$ The internal transmittance values, tabulated and graphically represented, are reference values only											
$\lambda$ [nm]	$\tau_i$	$\lambda$ [nm]	$\tau_i$	$\lambda$ [nm]	$\tau_i$	$\lambda$ [nm]	$\tau_i$	$\lambda$ [nm]	$\tau_i$	$\lambda$ [nm]	$\tau_i$
200	$< 10^{-5}$	500	$< 10^{-5}$	800	$8.4 \cdot 10^{-5}$	1100	0.792	2200	0.944	3700	$9.8 \cdot 10^{-2}$
210	$< 10^{-5}$	510	$< 10^{-5}$	810	$2.5 \cdot 10^{-4}$	1110	0.808	2250	0.934	3750	0.100
220	$< 10^{-5}$	520	$< 10^{-5}$	820	$6.5 \cdot 10^{-4}$	1120	0.823	2300	0.932	3800	0.104
230	$< 10^{-5}$	530	$< 10^{-5}$	830	$1.6 \cdot 10^{-3}$	1130	0.835	2350	0.928	3850	0.108
240	$< 10^{-5}$	540	$< 10^{-5}$	840	$3.4 \cdot 10^{-3}$	1140	0.846	2400	0.922	3900	0.114
250	$< 10^{-5}$	550	$< 10^{-5}$	850	$6.8 \cdot 10^{-3}$	1150	0.856	2450	0.914	3950	0.118
260	$< 10^{-5}$	560	$< 10^{-5}$	860	$1.3 \cdot 10^{-2}$	1160	0.866	2500	0.905	4000	0.116
270	$< 10^{-5}$	570	$< 10^{-5}$	870	$2.2 \cdot 10^{-2}$	1170	0.874	2550	0.896	4050	0.109
280	$< 10^{-5}$	580	$< 10^{-5}$	880	$3.6 \cdot 10^{-2}$	1180	0.882	2600	0.886	4100	$9.8 \cdot 10^{-2}$
290	$< 10^{-5}$	590	$< 10^{-5}$	890	$5.2 \cdot 10^{-2}$	1190	0.888	2650	0.874	4150	$8.6 \cdot 10^{-2}$
300	$< 10^{-5}$	600	$< 10^{-5}$	900	$7.7 \cdot 10^{-2}$	1200	0.894	2700	0.837	4200	$7.2 \cdot 10^{-2}$
310	$< 10^{-5}$	610	$< 10^{-5}$	910	0.107	1250	0.918	2750	0.572	4250	$5.9 \cdot 10^{-2}$
320	$< 10^{-5}$	620	$< 10^{-5}$	920	0.141	1300	0.934	2800	0.446	4300	$4.3 \cdot 10^{-2}$
330	$< 10^{-5}$	630	$< 10^{-5}$	930	0.182	1350	0.944	2850	0.424	4350	$2.9 \cdot 10^{-2}$
340	$< 10^{-5}$	640	$< 10^{-5}$	940	0.225	1400	0.952	2900	0.414	4400	$1.8 \cdot 10^{-2}$
350	$< 10^{-5}$	650	$< 10^{-5}$	950	0.273	1450	0.958	2950	0.394	4450	$8.5 \cdot 10^{-3}$
360	$< 10^{-5}$	660	$< 10^{-5}$	960	0.318	1500	0.964	3000	0.370	4500	$3.5 \cdot 10^{-3}$
370	$< 10^{-5}$	670	$< 10^{-5}$	970	0.368	1550	0.969	3050	0.337	4550	$1.3 \cdot 10^{-3}$
380	$< 10^{-5}$	680	$< 10^{-5}$	980	0.413	1600	0.972	3100	0.302	4600	$4.4 \cdot 10^{-4}$
390	$< 10^{-5}$	690	$< 10^{-5}$	990	0.461	1650	0.975	3150	0.264	4650	$1.6 \cdot 10^{-4}$
400	$< 10^{-5}$	700	$< 10^{-5}$	1000	0.503	1700	0.976	3200	0.230	4700	$6.4 \cdot 10^{-5}$
410	$< 10^{-5}$	710	$< 10^{-5}$	1010	0.546	1750	0.977	3250	0.201	4750	$3.4 \cdot 10^{-5}$
420	$< 10^{-5}$	720	$< 10^{-5}$	1020	0.585	1800	0.976	3300	0.175	4800	$2.2 \cdot 10^{-5}$
430	$< 10^{-5}$	730	$< 10^{-5}$	1030	0.619	1850	0.975	3350	0.151	4850	$1.4 \cdot 10^{-5}$
440	$< 10^{-5}$	740	$< 10^{-5}$	1040	0.653	1900	0.973	3400	0.130	4900	$< 10^{-5}$
450	$< 10^{-5}$	750	$< 10^{-5}$	1050	0.682	1950	0.971	3450	0.117	4950	$< 10^{-5}$
460	$< 10^{-5}$	760	$< 10^{-5}$	1060	0.708	2000	0.969	3500	0.109	5000	$< 10^{-5}$
470	$< 10^{-5}$	770	$< 10^{-5}$	1070	0.732	2050	0.966	3550	0.103	5050	$< 10^{-5}$
480	$< 10^{-5}$	780	$< 10^{-5}$	1080	0.754	2100	0.962	3600	$9.9 \cdot 10^{-2}$	5100	$< 10^{-5}$
490	$< 10^{-5}$	790	$2.6 \cdot 10^{-5}$	1090	0.773	2150	0.955	3650	$9.8 \cdot 10^{-2}$	5150	$< 10^{-5}$